

TS345

-

Codage pour la 5G

Romain Tajan

13 octobre 2022

Organisation du module

- 6 créneaux (1h20) de cours
- 3 créneaux de TP (2h40)

Découpage des cours

- 1 créneau de **rappels sur les codes correcteurs**
- 3 créneaux sur les **Codes LDPC**
- 2 créneaux sur les **Codes Polaires**

Plan


- 1 Introduction générale
- 2 Rappels sur de codage / définitions
- 3 Codes Linéaires (binaires) en blocs
- 4 LDPC

- 1 Introduction générale
 - ▷ Histoire de code correcteur
- 2 Rappels sur de codage / définitions
- 3 Codes Linéaires (binaires) en blocs
- 4 LDPC

Plan

- 1 Introduction générale
 - ▷ Histoire de code correcteur
- 2 Rappels sur de codage / définitions
- 3 Codes Linéaires (binaires) en blocs
- 4 LDPC

Un peu d'histoire...

- 
- 1948 **Shannon** - capacité d'un canal (non constructive)
 - 1955 **Elias** - Code convolutifs (GSM)
 - 1960 **Reed et Solomon** - Codes RS (CD → BluRay, QR, DVB-S, RAID6)
Gallager - Codes LDPC
 - 1966 **Forney** - Codes concatennés (Pioneer (1968-1972), Voyager (1977))
 - 1967 **Viterbi** - Décodage optimal des codes convolutifs
 - 1993 **Berrou, Glavieux et Thitimajshima** - Turbocodes (3G/4G, deep-space)
 - 1996 **MacKay** - Ré-invente les LDPC (DVB-S2, WiFi, 5G)
 - 2008 **Arikan** - Codes Polaires (5G)

- 1 Introduction générale
- 2 Rappels sur de codage / définitions
 - ▷ Sur la modélisation du canal
 - ▷ Code correcteur d'erreur
 - ▷ Probabilité d'erreur
 - ▷ Retour sur les enjeux
- 3 Codes Linéaires (binaires) en blocs
- 4 LDPC

Plan

- 1 Introduction générale
- 2 Rappels sur de codage / définitions
 - ▷ Sur la modélisation du canal
 - ▷ Code correcteur d'erreur
 - ▷ Probabilité d'erreur
 - ▷ Retour sur les enjeux
- 3 Codes Linéaires (binaires) en blocs
- 4 LDPC

Le canal...

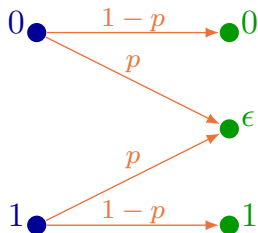
Un **canal** est défini par un triplet : $(\mathcal{X}, \mathcal{Y}, p(y|x))$ où

- \mathcal{X} est l'**alphabet d'entrée**
- \mathcal{Y} est l'**alphabet de sortie**
- $p(y|x)$ est la **probabilité de transition**

Soit $n \in \mathbb{N}$ et soit le canal $(\mathcal{X}^n, \mathcal{Y}^n, p(\mathbf{y}|\mathbf{x}))$, ce canal est dit "**sans mémoire**" si sa probabilité de transition vérifie

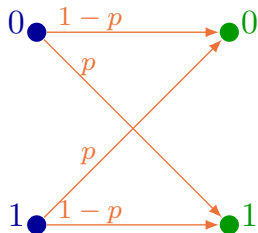
$$p(\mathbf{y}|\mathbf{x}) = \prod_{i=1}^n p(y_i|x_i)$$

Le canal à effacement binaire



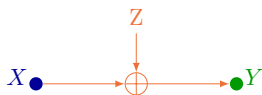
- $\mathcal{X} = \{0, 1\}$ (canal à entrées binaires)
- $\mathcal{Y} = \{0, \epsilon, 1\}$
- $p(\epsilon|0) = p(\epsilon|1) = p$ et $p(0|0) = p(1|1) = 1 - p$
- Canal utile pour les couches hautes, pour le stockage

Le canal binaire symétrique



- $\mathcal{X} = \{0, 1\}$ (canal à entrées binaires)
- $\mathcal{Y} = \{0, 1\}$
- $p(1|0) = p(0|1) = p$ et $p(0|0) = p(1|1) = 1 - p$
- Canal utile après décision

Le canal additif gaussien

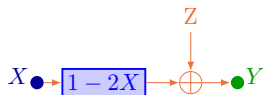


- $\mathcal{X} = \mathbb{R}$

- $\mathcal{Y} = \mathbb{R}$

- $p(y|x) = \frac{1}{\sqrt{2\pi\sigma^2}} e^{-\frac{1}{2\sigma^2}(y-x)^2}$

Le canal additif gaussien à entrées binaires



- $\mathcal{X} = \{0, 1\}$

- $\mathcal{Y} = \mathbb{R}$

- $p(y|x) = \frac{1}{\sqrt{2\pi\sigma^2}} e^{-\frac{1}{2\sigma^2}(y-1+2x)^2}$

Plan

- 1 Introduction générale
- 2 **Rappels sur de codage / définitions**
 - ▷ Sur la modélisation du canal
 - ▷ **Code correcteur d'erreur**
 - ▷ Probabilité d'erreur
 - ▷ Retour sur les enjeux
- 3 Codes Linéaires (binaires) en blocs
- 4 LDPC

Code (M, n)

Un code (M, n) pour le canal $(\mathcal{X}^n, \mathcal{Y}^n, p(\mathbf{y}|\mathbf{x}))$ est composé de 3 éléments

- Un ensemble de M **messages**. On notera cet ensemble $\mathcal{M} = \{0, 1, \dots, M - 1\}$
- Une fonction d'**encodage** (ou encodeur) notée ϕ :

$$\begin{aligned} \phi : \mathcal{M} &\rightarrow \mathcal{X}^n \\ W &\mapsto \mathbf{X} = \phi(W) \end{aligned}$$

$\phi(\cdot)$ doit être **injective**

- Une fonction de **décodage** (ou décodeur) notée ψ :

$$\begin{aligned} \psi : \mathcal{Y}^n &\rightarrow \mathcal{M} \\ \mathbf{Y} &\mapsto \hat{W} = \psi(\mathbf{Y}) \end{aligned}$$

$\psi(\cdot)$ doit être **surjective**

Plan

- 1 Introduction générale
- 2 **Rappels sur de codage / définitions**
 - ▷ Sur la modélisation du canal
 - ▷ Code correcteur d'erreur
 - ▷ **Probabilité d'erreur**
 - ▷ Retour sur les enjeux
- 3 Codes Linéaires (binaires) en blocs
- 4 LDPC

Probabilité d'erreur

Si le mot de code $W = w$ est envoyé, une erreur se produit ssi $\hat{W} \neq w$.

La probabilité associée à cet événement est notée

$$\begin{aligned}\lambda_w &= \mathbb{P}(\hat{W} \neq w | W = w) \\ &= \mathbb{P}(\psi(\mathbf{Y}) \neq w | W = w)\end{aligned}$$

Définitions

- **Probabilité d'erreur maximale** : $P_m^{(n)} = \max_w \lambda_w$
- **Probabilité d'erreur moyenne** : $P_e^{(n)} = \mathbb{P}(\hat{W} \neq W) = \frac{1}{M} \sum_{w=0}^{M-1} \lambda_w$

Décodage du Maximum a Posteriori (MAP)

Définition

- Soit \mathcal{C} un code (M, n) donné.
- Le **décodeur** du **Maximum A Posteriori (MAP)** est la fonction de \mathbf{y} définie par :

$$\Psi_{MAP}(\mathbf{y}) = \operatorname{argmax}_{w \in \mathcal{M}} \mathbb{P}(W = w | \mathbf{Y} = \mathbf{y})$$

Le décodeur MAP minimise P_e

Décodage MAP sur canaux classiques

Soit le **décodeur** MAP défini par : $\Psi_{MAP}(\mathbf{y}) = \operatorname{argmax}_{w \in \mathcal{M}} \mathbb{P}(W = w | \mathbf{Y} = \mathbf{y})$

1 Sur canal BSC : $\Psi_{MAP}(\mathbf{y}) = \operatorname{argmin}_{\mathbf{x} \in \mathcal{C}} d_H(\mathbf{x}, \mathbf{y})$

2 Sur canal AWGN : $\Psi_{MAP}(\mathbf{y}) = \operatorname{argmin}_{\mathbf{x} \in \mathcal{C}} d_E(\mathbf{x}, \mathbf{y})$

Sans structure sur \mathcal{C} , ces deux décodeurs sont trop complexes !

Décodage du Maximum a Posteriori (MAP-bit)

Définition

- Soit \mathcal{C} un code **binaire** (k, n) donné.
- Le **décodeur** du **Maximum A Posteriori bit (MAP-bit)** est la fonction de \mathbf{y} définie par :

$$\Psi_{MAP-bit}^{(j)}(\mathbf{y}) = \operatorname{argmax}_{u \in \{0,1\}} \mathbb{P}(U_j = u | \mathbf{Y} = \mathbf{y})$$

- En pratique on calcule les **Logarithmes de rapports de vraisemblances (LLR)** :

$$L(U_i) = \log \frac{\mathbb{P}(U_i = 0 | \mathbf{y})}{\mathbb{P}(U_i = 1 | \mathbf{y})}$$

- Le décodeur MAP minimise P_b (la probabilité d'erreur binaire)
- Le signe des LLRs : décisions MAP-bit
- Le module des LLRs : fiabilité des décisions

Plan

- 1 Introduction générale
- 2 **Rappels sur de codage / définitions**
 - ▷ Sur la modélisation du canal
 - ▷ Code correcteur d'erreur
 - ▷ Probabilité d'erreur
 - ▷ **Retour sur les enjeux**
- 3 Codes Linéaires (binaires) en blocs
- 4 LDPC

Enjeux du codage

Compromis entre

- La **taille** du code (n)
- Le **rendement de code** (le débit)
- La **probabilité d'erreur** (maximale ou moyenne)
- La **complexité** de l'encodage
- La **complexité** du décodage

Efficacité spectrale \longleftrightarrow **Codage** \longleftrightarrow **Efficacité énergétique**

- 1 Introduction générale
- 2 Rappels sur de codage / définitions
- 3 Codes Linéaires (binaires) en blocs**
 - ▷ Matrice de parité
 - ▷ Encodeur Systématique
 - ▷ Décodage MAP-bit des codes linéaires (binaires)
- 4 LDPC

Remarques

- 1 Dans cette section $\mathcal{X} = \mathcal{Y} = \{0, 1\}$ et le canal considéré est le **canal binaire symétrique**
- 2 Dans cette section on notera \mathbb{F}_2 le **corps** $(\{0, 1\}, \oplus, \cdot)$ où :
 - Pour $x, y \in \mathbb{F}_2$, $x \oplus y = (x + y) \bmod 2$ (\equiv OU exclusif)
 - Pour $x, y \in \mathbb{F}_2$, $x \cdot y$ est le produit "classique" entre x et y (\equiv ET)
- 3 \mathbb{F}_2 est un corps fini à deux éléments ($\mathbb{Z}/2\mathbb{Z}$)
- 4 Par la suite on notera $\oplus \rightsquigarrow +$
- 5 $(\mathbb{F}_2^n, +, \cdot)$ est un **espace vectoriel** où
 - Pour $\mathbf{x}, \mathbf{y} \in \mathbb{F}_2^n$, $\mathbf{x} + \mathbf{y} = [x_0 + y_0, x_1 + y_1, \dots, x_{n-1} + y_{n-1}]$
 - Pour $x \in \mathbb{F}_2$ et $\mathbf{y} \in \mathbb{F}_2^n$, $x \cdot \mathbf{y} = [x \cdot y_0, x \cdot y_1, \dots, x \cdot y_{n-1}]$

Code linéaire

Soit \mathcal{C} un code ($M = 2^k, n$), \mathcal{C} est un **code binaire linéaire** si et seulement si les mots de codes $\mathbf{c} \in \mathbb{F}_2^n$ sont obtenus à partir des messages $\mathbf{u} \in \mathbb{F}_2^k$ par la relation

$$\mathbf{c} = \mathbf{u}G$$

où G est une matrice de taille $k \times n$ appelée **matrice génératrice** de \mathcal{C}

$$G = \begin{pmatrix} \mathbf{g}_0 \\ \mathbf{g}_1 \\ \vdots \\ \mathbf{g}_{k-1} \end{pmatrix} = \begin{pmatrix} g_{0,0} & g_{0,1} & \cdots & g_{0,n-1} \\ g_{1,0} & g_{1,1} & \cdots & g_{1,n-1} \\ \vdots & \vdots & & \vdots \\ g_{k-1,0} & g_{k-1,1} & \cdots & g_{k-1,n-1} \end{pmatrix}$$

Remarques

- 1 \mathcal{C} est un sous-espace vectoriel de \mathbb{F}_2^n de dimension $\text{rang}(G) = k$
- 2 Il existe plusieurs matrices génératrices pour un même code.
- 3 le rendement du code est $R = \frac{\text{rang}(G)}{n} = \frac{k}{n}$

Plan

- 1 Introduction générale
- 2 Rappels sur de codage / définitions
- 3 Codes Linéaires (binaires) en blocs**
 - ▷ Matrice de parité
 - ▷ Encodeur Systématique
 - ▷ Décodage MAP-bit des codes linéaires (binaires)
- 4 LDPC

Matrice de parité

Le code \mathcal{C} peut aussi être défini par sa **matrice de parité** H de taille $n - k \times n$:

$$H = \begin{pmatrix} \mathbf{h}_0 \\ \mathbf{h}_1 \\ \vdots \\ \mathbf{h}_{n-k-1} \end{pmatrix} = \begin{pmatrix} h_{0,0} & h_{0,1} & \dots & h_{0,n-1} \\ h_{1,0} & h_{1,1} & \dots & h_{1,n-1} \\ \vdots & \vdots & & \vdots \\ h_{n-k-1,0} & h_{n-k-1,1} & \dots & h_{n-k-1,n-1} \end{pmatrix}$$

Soit $\mathbf{v} \in \mathbb{F}_2^n$, $\mathbf{v} \in \mathcal{C}$ (\mathbf{v} est un mot de code) si et seulement si

$$\mathbf{v}H^T = 0$$

- 1 H est appelée **matrice de parité** du code \mathcal{C} et vérifie $GH^T = 0_{k \times n-k}$
- 2 H n'est pas unique

Codes linéaires en blocs

Définitions

- 1 À partir de sa **matrice génératrice** G de taille $k \times n$: $\mathcal{C} = \{\mathbf{u}G \mid \mathbf{u} \in \mathbb{F}_2^k\}$
- 2 À partir de sa **matrice de parité** H de taille $n - k \times n$: $\mathcal{C} = \{\mathbf{c} \in \mathbb{F}_2^n \mid \mathbf{c}H^T = \mathbf{0}\}$

- 1 G et H ne sont pas uniques
- 2 G et H vérifient $GH^T = \mathbf{0}_{k \times n-k}$. Vrai pour tout couple de matrices (G, H) définissant un même code
- 3 Pour un code binaire : $k \leq n \Rightarrow$ le codage "**ajoute de la redondance**"
- 4 **Rendement de code** :

$$R = \frac{\text{rang}(G)}{n} = \frac{n - \text{rang}(H)}{n}$$

Plan

- 1 Introduction générale
- 2 Rappels sur de codage / définitions
- 3 Codes Linéaires (binaires) en blocs**
 - ▷ Matrice de parité
 - ▷ Encodeur Systématique**
 - ▷ Décodage MAP-bit des codes linéaires (binaires)
- 4 LDPC

Encodeur systématique

Soit \mathcal{C} un code ($M = 2^k, n$) pour un canal à entrées binaires. Un encodeur $\varphi(\cdot)$ est dit **systématique** ssi

$$\forall \mathbf{u} \in \mathbb{F}_2^k, \varphi(\mathbf{u}) = [\mathbf{p} \ \mathbf{u}] \text{ avec } \mathbf{p} \in \mathbb{F}_2^{n-k}$$

Si \mathcal{C} est linéaire alors il existe une matrice génératrice sous la forme

$$G = \begin{pmatrix} p_{0,0} & \cdots & p_{0,n-k-1} & 1 & 0 & \cdots & 0 \\ p_{1,0} & \cdots & p_{1,n-k-1} & 0 & 1 & \cdots & 0 \\ \vdots & \vdots & \vdots & \vdots & \vdots & \ddots & \vdots \\ p_{k,0} & \cdots & p_{k,n-k-1} & 0 & 0 & \cdots & 1 \end{pmatrix} = [P \ I_k]$$

La matrice de parité associée à la matrice G précédente

$$H = \begin{pmatrix} 1 & 0 & \cdots & 0 & p_{0,0} & \cdots & p_{k,0} \\ 0 & 1 & \cdots & 0 & p_{0,1} & \cdots & p_{k,1} \\ \vdots & \vdots & \vdots & \vdots & \vdots & \ddots & \vdots \\ 0 & 0 & \cdots & 1 & p_{0,n-k-1} & \cdots & p_{k,n-k-1} \end{pmatrix} = [I_{n-k} \ P^T]$$

Remarques sur les encodeurs systématiques

$$G = \begin{pmatrix} p_{0,0} & \dots & p_{0,n-k-1} & 1 & 0 & \dots & 0 \\ p_{1,0} & \dots & p_{1,n-k-1} & 0 & 1 & \dots & 0 \\ \vdots & \vdots & \vdots & \vdots & \vdots & \ddots & \vdots \\ p_{k,0} & \dots & p_{k,n-k-1} & 0 & 0 & \dots & 1 \end{pmatrix} = [P \quad I_k]$$

- 1 Un encodeur systématique comporte le message **en clair**

Remarques sur les encodeurs systématiques

$$G = \begin{pmatrix} p_{0,0} & \dots & p_{0,n-k-1} & 1 & 0 & \dots & 0 \\ p_{1,0} & \dots & p_{1,n-k-1} & 0 & 1 & \dots & 0 \\ \vdots & \vdots & \vdots & \vdots & \vdots & \ddots & \vdots \\ p_{k,0} & \dots & p_{k,n-k-1} & 0 & 0 & \dots & 1 \end{pmatrix} = [P \quad I_k]$$

- 1 Un encodeur systématique comporte le message **en clair**
- 2 Les encodeurs systématiques sont souvent moins complexes que leurs équivalents non-systématiques

Remarques sur les encodeurs systématiques

$$G = \begin{pmatrix} p_{0,0} & \dots & p_{0,n-k-1} & 1 & 0 & \dots & 0 \\ p_{1,0} & \dots & p_{1,n-k-1} & 0 & 1 & \dots & 0 \\ \vdots & \vdots & \vdots & \vdots & \vdots & \ddots & \vdots \\ p_{k,0} & \dots & p_{k,n-k-1} & 0 & 0 & \dots & 1 \end{pmatrix} = [P \quad I_k]$$

- 1 Un encodeur systématique comporte le message **en clair**
- 2 Les encodeurs systématiques sont souvent moins complexes que leurs équivalents non-systématiques
- 3 Une matrice d'encodage systématique peut être trouvée pour tout code linéaire en bloc de matrice génératrice **pleine** (à des permutations de colonnes près)
 ~~~ **Pivot de Gauss**

## Exemple de Pivot de Gauss

$$G = \begin{pmatrix} 1 & 1 & 1 & 0 & 1 & 0 & 0 & 0 \\ 1 & 0 & 0 & 1 & 1 & 1 & 0 & 0 \\ 1 & 1 & 0 & 0 & 0 & 1 & 1 & 0 \\ 0 & 1 & 1 & 0 & 0 & 0 & 1 & 1 \end{pmatrix}$$

- 1 But : permuter | sommer des lignes pour faire apparaître la matrice  $I$  à droite
- 2 Cette procédure ne donne pas tout le temps une matrice de la forme  $G = [P, I]$
- 3 Si  $G$  est de rang plein on peut toujours se ramener à  $[P, I]$  à **une permutation de colonne près**
- 4 Soit  $G' = [P, I_k] = G\Pi$  où  $\Pi$  est une matrice de permutation des colonnes, soit  $H' = [I_{n-k} P^T]$  alors

$$G'(H')^T = 0_{k \times n-k} = GH^T \text{ avec } H = H'\Pi^T$$

## Exemple de Pivot de Gauss

$$G = \begin{pmatrix} 1 & 1 & 1 & 0 & 1 & 0 & 0 & 0 \\ 1 & 0 & 0 & 1 & 1 & 1 & 0 & 0 \\ 1 & 1 & 0 & 0 & 0 & 1 & 1 & 0 \\ 0 & 1 & 1 & 0 & 0 & 0 & 1 & 1 \end{pmatrix} \leftarrow \text{Pivot}$$

- 1 But : permuter | sommer des lignes pour faire apparaître la matrice  $I$  à droite
- 2 Cette procédure ne donne pas tout le temps une matrice de la forme  $G = [P, I]$
- 3 Si  $G$  est de rang plein on peut toujours se ramener à  $[P, I]$  à **une permutation de colonne près**
- 4 Soit  $G' = [P, I_k] = G\Pi$  où  $\Pi$  est une matrice de permutation des colonnes, soit  $H' = [I_{n-k} P^T]$  alors

$$G'(H')^T = 0_{k \times n-k} = GH^T \text{ avec } H = H'\Pi^T$$

## Exemple de Pivot de Gauss

$$G = \begin{pmatrix} 1 & 1 & 1 & 0 & 1 & 0 & 0 & 0 \\ 0 & 1 & 1 & 1 & 0 & 1 & 0 & 0 \\ 1 & 1 & 0 & 0 & 0 & 1 & 1 & 0 \\ 0 & 1 & 1 & 0 & 0 & 0 & 1 & 1 \end{pmatrix} \begin{array}{l} \leftarrow \text{Pivot} \\ L_2 \leftarrow L_2 + L_1 \end{array}$$

- 1 But : permuter | sommer des lignes pour faire apparaître la matrice  $I$  à droite
- 2 Cette procédure ne donne pas tout le temps une matrice de la forme  $G = [P, I]$
- 3 Si  $G$  est de rang plein on peut toujours se ramener à  $[P, I]$  à **une permutation de colonne près**
- 4 Soit  $G' = [P, I_k] = G\Pi$  où  $\Pi$  est une matrice de permutation des colonnes, soit  $H' = [I_{n-k} P^T]$  alors

$$G'(H')^T = 0_{k \times n-k} = GH^T \text{ avec } H = H'\Pi^T$$

## Exemple de Pivot de Gauss

$$G = \begin{pmatrix} 1 & 1 & 1 & 0 & 1 & 0 & 0 & 0 \\ 0 & 1 & 1 & 1 & 0 & 1 & 0 & 0 \\ 1 & 1 & 0 & 0 & 0 & 1 & 1 & 0 \\ 0 & 1 & 1 & 0 & 0 & 0 & 1 & 1 \end{pmatrix} \leftarrow \text{Pivot}$$

- 1 But : permuter | sommer des lignes pour faire apparaître la matrice  $I$  à droite
- 2 Cette procédure ne donne pas tout le temps une matrice de la forme  $G = [P, I]$
- 3 Si  $G$  est de rang plein on peut toujours se ramener à  $[P, I]$  à **une permutation de colonne près**
- 4 Soit  $G' = [P, I_k] = G\Pi$  où  $\Pi$  est une matrice de permutation des colonnes, soit  $H' = [I_{n-k} P^T]$  alors

$$G'(H')^T = 0_{k \times n-k} = GH^T \text{ avec } H = H'\Pi^T$$

## Exemple de Pivot de Gauss

$$G = \begin{pmatrix} 1 & 1 & 1 & 0 & 1 & 0 & 0 & 0 \\ 0 & 1 & 1 & 1 & 0 & 1 & 0 & 0 \\ 1 & 0 & 1 & 1 & 0 & 0 & 1 & 0 \\ 0 & 1 & 1 & 0 & 0 & 0 & 1 & 1 \end{pmatrix} \begin{array}{l} \leftarrow \text{Pivot} \\ L_3 \leftarrow L_3 + L_2 \end{array}$$

- 1 But : permuter | sommer des lignes pour faire apparaître la matrice  $I$  à droite
- 2 Cette procédure ne donne pas tout le temps une matrice de la forme  $G = [P, I]$
- 3 Si  $G$  est de rang plein on peut toujours se ramener à  $[P, I]$  à **une permutation de colonne près**
- 4 Soit  $G' = [P, I_k] = G\Pi$  où  $\Pi$  est une matrice de permutation des colonnes, soit  $H' = [I_{n-k} P^T]$  alors

$$G'(H')^T = 0_{k \times n-k} = GH^T \text{ avec } H = H'\Pi^T$$

## Exemple de Pivot de Gauss

$$G = \begin{pmatrix} 1 & 1 & 1 & 0 & 1 & 0 & 0 & 0 \\ 0 & 1 & 1 & 1 & 0 & 1 & 0 & 0 \\ 1 & 0 & 1 & 1 & 0 & 0 & 1 & 0 \\ 0 & 1 & 1 & 0 & 0 & 0 & 1 & 1 \end{pmatrix} \leftarrow \text{Pivot}$$

- 1 But : permuter | sommer des lignes pour faire apparaître la matrice  $I$  à droite
- 2 Cette procédure ne donne pas tout le temps une matrice de la forme  $G = [P, I]$
- 3 Si  $G$  est de rang plein on peut toujours se ramener à  $[P, I]$  à **une permutation de colonne près**
- 4 Soit  $G' = [P, I_k] = G\Pi$  où  $\Pi$  est une matrice de permutation des colonnes, soit  $H' = [I_{n-k} P^T]$  alors

$$G'(H')^T = 0_{k \times n-k} = GH^T \text{ avec } H = H'\Pi^T$$

## Exemple de Pivot de Gauss

$$G = \begin{pmatrix} 1 & 1 & 1 & 0 & 1 & 0 & 0 & 0 \\ 0 & 1 & 1 & 1 & 0 & 1 & 0 & 0 \\ 1 & 0 & 1 & 1 & 0 & 0 & 1 & 0 \\ 1 & 1 & 0 & 1 & 0 & 0 & 0 & 1 \end{pmatrix} \begin{array}{l} \leftarrow \text{Pivot} \\ L_4 \leftarrow L_4 + L_3 \end{array}$$

- 1 But : permuter | sommer des lignes pour faire apparaître la matrice  $I$  à droite
- 2 Cette procédure ne donne pas tout le temps une matrice de la forme  $G = [P, I]$
- 3 Si  $G$  est de rang plein on peut toujours se ramener à  $[P, I]$  à **une permutation de colonne près**
- 4 Soit  $G' = [P, I_k] = G\Pi$  où  $\Pi$  est une matrice de permutation des colonnes, soit  $H' = [I_{n-k} P^T]$  alors

$$G'(H')^T = 0_{k \times n-k} = GH^T \text{ avec } H = H'\Pi^T$$



# Plan

- 1 Introduction générale
- 2 Rappels sur de codage / définitions
- 3 Codes Linéaires (binaires) en blocs**
  - ▷ Matrice de parité
  - ▷ Encodeur Systématique
  - ▷ **Décodage MAP-bit des codes linéaires (binaires)**
- 4 LDPC

## Décodage MAP-bit

- Le **décodeur MAP-bit** encodage systématique :

$$\Psi_{MAP-bit}^{(j)}(\mathbf{y}) = \operatorname{argmax}_{x_j \in \{0,1\}} \mathbb{P}(X_j = x_j | \mathbf{Y} = \mathbf{y})$$

**Décodage MAP-bit**

- Le **décodeur MAP-bit** encodage systématique :

$$\Psi_{MAP-bit}^{(j)}(\mathbf{y}) = \operatorname{argmax}_{x_j \in \{0,1\}} \mathbb{P}(X_j = x_j | \mathbf{Y} = \mathbf{y})$$

- Le **décodeur MAP-bit** encodage systématique (2) :

$$\Psi_{MAP-bit}^{(j)}(\mathbf{y}) = \operatorname{argmax}_{x_j \in \{0,1\}} \sum_{\mathbf{x} \sim_j \mathbb{F}_2^{n-1}} \mathbb{P}(\mathbf{Y} = \mathbf{y} | \mathbf{X} = \mathbf{x}) \mathbb{1}(\mathbf{x}H^T = \mathbf{0})$$

**Décodage MAP-bit**

- Le **décodeur MAP-bit** encodage systématique :

$$\Psi_{MAP-bit}^{(j)}(\mathbf{y}) = \operatorname{argmax}_{x_j \in \{0,1\}} \mathbb{P}(X_j = x_j | \mathbf{Y} = \mathbf{y})$$

- Le **décodeur MAP-bit** encodage systématique (2) :

$$\begin{aligned} \Psi_{MAP-bit}^{(j)}(\mathbf{y}) &= \operatorname{argmax}_{x_j \in \{0,1\}} \sum_{\mathbf{x} \sim_j \in \mathbb{F}_2^{n-1}} \mathbb{P}(\mathbf{Y} = \mathbf{y} | \mathbf{X} = \mathbf{x}) \mathbb{1}(\mathbf{x}H^T = \mathbf{0}) \\ &= \operatorname{argmax}_{x_j \in \{0,1\}} \sum_{\mathbf{x} \sim_j \in \mathbb{F}_2^{n-1}} \prod_{i=0}^{n-1} \mathbb{P}(Y_i = y_i | X_i = x_i) \mathbb{1}(\mathbf{x}H^T = \mathbf{0}) \end{aligned}$$

**Décodage MAP-bit**

- Le **décodeur MAP-bit** encodage systématique :

$$\Psi_{MAP-bit}^{(j)}(\mathbf{y}) = \operatorname{argmax}_{x_j \in \{0,1\}} \mathbb{P}(X_j = x_j | \mathbf{Y} = \mathbf{y})$$

- Le **décodeur MAP-bit** encodage systématique (2) :

$$\begin{aligned} \Psi_{MAP-bit}^{(j)}(\mathbf{y}) &= \operatorname{argmax}_{x_j \in \{0,1\}} \sum_{\mathbf{x}_{\sim j} \in \mathbb{F}_2^{n-1}} \mathbb{P}(\mathbf{Y} = \mathbf{y} | \mathbf{X} = \mathbf{x}) \mathbb{1}(\mathbf{x}H^T = \mathbf{0}) \\ &= \operatorname{argmax}_{x_j \in \{0,1\}} \sum_{\mathbf{x}_{\sim j} \in \mathbb{F}_2^{n-1}} \prod_{i=0}^{n-1} \mathbb{P}(Y_i = y_i | X_i = x_i) \mathbb{1}(\mathbf{x}H^T = \mathbf{0}) \end{aligned}$$

**Sans structure sur  $\mathcal{C}$ , ce décodeur est aussi trop complexe !**

- 1 Introduction générale
- 2 Rappels sur de codage / définitions
- 3 Codes Linéaires (binaires) en blocs
- 4 LDPC**
  - ▷ Présentation générale
  - ▷ Définition
  - ▷ Graphe de Tanner associé à un code LDPC
  - ▷ Décodage Somme-Produit
  - ▷ Étude des performances du décodage itératif

# Plan

- 1 Introduction générale
- 2 Rappels sur de codage / définitions
- 3 Codes Linéaires (binaires) en blocs
- 4 LDPC**
  - ▷ Présentation générale
  - ▷ Définition
  - ▷ Graphe de Tanner associé à un code LDPC
  - ▷ Décodage Somme-Produit
  - ▷ Étude des performances du décodage itératif

# Codes Low Density Parity Check (LDPC)

- Introduits par Gallager pendant sa **thèse de doctorat** en 1963



# Codes Low Density Parity Check (LDPC)

- Introduits par Gallager pendant sa **thèse de doctorat** en 1963
  - Codes possédant une **matrice de parité peu dense**

# Codes Low Density Parity Check (LDPC)

- Introduits par Gallager pendant sa **thèse de doctorat** en 1963
  - Codes possédant une **matrice de parité peu dense**
  - Codes pouvant être analysés (exposant d'erreur)

# Codes Low Density Parity Check (LDPC)

- Introduits par Gallager pendant sa **thèse de doctorat** en 1963
  - Codes possédant une **matrice de parité peu dense**
  - Codes pouvant être analysés (exposant d'erreur)
  - Décodage simplifié

# Codes Low Density Parity Check (LDPC)

- Introduits par Gallager pendant sa **thèse de doctorat** en 1963
  - Codes possédant une **matrice de parité peu dense**
  - Codes pouvant être analysés (exposant d'erreur)
  - Décodage simplifié
- **Peu de travaux** pendant  $\sim 30$  ans (Tanner en 1981)

# Codes Low Density Parity Check (LDPC)

- Introduits par Gallager pendant sa **thèse de doctorat** en 1963
  - Codes possédant une **matrice de parité peu dense**
  - Codes pouvant être analysés (exposant d'erreur)
  - Décodage simplifié
- **Peu de travaux** pendant  $\sim 30$  ans (Tanner en 1981)
  - Codes représentable à l'aide d'un **graphe bipartite (graphe de Tanner)**

# Codes Low Density Parity Check (LDPC)

- Introduits par Gallager pendant sa **thèse de doctorat** en 1963
  - Codes possédant une **matrice de parité peu dense**
  - Codes pouvant être analysés (exposant d'erreur)
  - Décodage simplifié
- **Peu de travaux** pendant  $\sim 30$  ans (Tanner en 1981)
  - Codes représentable à l'aide d'un **graphe bipartite (graphe de Tanner)**
  - Décodage possible à l'aide du graphe

# Codes Low Density Parity Check (LDPC)

- Introduits par Gallager pendant sa **thèse de doctorat** en 1963
  - Codes possédant une **matrice de parité peu dense**
  - Codes pouvant être analysés (exposant d'erreur)
  - Décodage simplifié
- **Peu de travaux** pendant  $\sim 30$  ans (Tanner en 1981)
  - Codes représentable à l'aide d'un **graphe bipartite (graphe de Tanner)**
  - Décodage possible à l'aide du graphe
  - Performances dépendant des propriétés du graphe

# Codes Low Density Parity Check (LDPC)

- Introduits par Gallager pendant sa **thèse de doctorat** en 1963
  - Codes possédant une **matrice de parité peu dense**
  - Codes pouvant être analysés (exposant d'erreur)
  - Décodage simplifié
- **Peu de travaux** pendant  $\sim 30$  ans (Tanner en 1981)
  - Codes représentable à l'aide d'un **graphe bipartite (graphe de Tanner)**
  - Décodage possible à l'aide du graphe
  - Performances dépendant des propriétés du graphe
- Algorithme de propagation de croyance (IA) (Pearl en 1988)



# Codes Low Density Parity Check (LDPC)

- Introduits par Gallager pendant sa **thèse de doctorat** en 1963
  - Codes possédant une **matrice de parité peu dense**
  - Codes pouvant être analysés (exposant d'erreur)
  - Décodage simplifié
- **Peu de travaux** pendant  $\sim 30$  ans (Tanner en 1981)
  - Codes représentable à l'aide d'un **graphe bipartite (graphe de Tanner)**
  - Décodage possible à l'aide du graphe
  - Performances dépendant des propriétés du graphe
- Algorithme de propagation de croyance (IA) (Pearl en 1988)
  - Algorithme de propagation de croyance (BP - Belief Propagation)

# Codes Low Density Parity Check (LDPC)

- Introduits par Gallager pendant sa **thèse de doctorat** en 1963
  - Codes possédant une **matrice de parité peu dense**
  - Codes pouvant être analysés (exposant d'erreur)
  - Décodage simplifié
- **Peu de travaux** pendant  $\sim 30$  ans (Tanner en 1981)
  - Codes représentable à l'aide d'un **graphe bipartite (graphe de Tanner)**
  - Décodage possible à l'aide du graphe
  - Performances dépendant des propriétés du graphe
- Algorithme de propagation de croyance (IA) (Pearl en 1988)
  - Algorithme de propagation de croyance (BP - Belief Propagation)
- **Redécouverte** des codes LDPC (MacKay, Luby fin 1990)

# Codes Low Density Parity Check (LDPC)

- Introduits par Gallager pendant sa **thèse de doctorat** en 1963
  - Codes possédant une **matrice de parité peu dense**
  - Codes pouvant être analysés (exposant d'erreur)
  - Décodage simplifié
- **Peu de travaux** pendant  $\sim 30$  ans (Tanner en 1981)
  - Codes représentable à l'aide d'un **graphe bipartite (graphe de Tanner)**
  - Décodage possible à l'aide du graphe
  - Performances dépendant des propriétés du graphe
- Algorithme de propagation de croyance (IA) (Pearl en 1988)
  - Algorithme de propagation de croyance (BP - Belief Propagation)
- **Redécouverte** des codes LDPC (MacKay, Luby fin 1990)
  - (Re)Montrent que les codes LDPC sont de bons codes

# Codes Low Density Parity Check (LDPC)

- Introduits par Gallager pendant sa **thèse de doctorat** en 1963
  - Codes possédant une **matrice de parité peu dense**
  - Codes pouvant être analysés (exposant d'erreur)
  - Décodage simplifié
- **Peu de travaux** pendant  $\sim 30$  ans (Tanner en 1981)
  - Codes représentable à l'aide d'un **graphe bipartite (graphe de Tanner)**
  - Décodage possible à l'aide du graphe
  - Performances dépendant des propriétés du graphe
- Algorithme de propagation de croyance (IA) (Pearl en 1988)
  - Algorithme de propagation de croyance (BP - Belief Propagation)
- **Redécouverte** des codes LDPC (MacKay, Luby fin 1990)
  - (Re)Montrent que les codes LDPC sont de bons codes

# Plan

- 1 Introduction générale
- 2 Rappels sur de codage / définitions
- 3 Codes Linéaires (binaires) en blocs
- 4 LDPC**
  - ▷ Présentation générale
  - ▷ Définition**
  - ▷ Graphe de Tanner associé à un code LDPC
  - ▷ Décodage Somme-Produit
  - ▷ Étude des performances du décodage itératif

# Définition des codes LDPC

## Définitions

- 1 Soit une matrice  $H$

$$H = \begin{pmatrix} h_{0,0} & h_{0,1} & \dots & h_{0,n-1} \\ h_{1,0} & h_{1,1} & \dots & h_{1,n-1} \\ \vdots & \vdots & \dots & \vdots \\ h_{m-1,0} & h_{m-1,1} & \dots & h_{m-1,n-1} \end{pmatrix}$$

Densité de  $H$  :  $\frac{|\{i, j : h_{i,j} = 1\}|}{m n}$

- 2 **Codes LDPC** : Codes possédant une matrice de parité  $H$  peu dense (creuse). Ordre de grandeur pour  $n$  grand  $\leq 0.01$ .
- 3 **Codes réguliers** : poids des lignes constant  $r$ , poids des colonnes constant  $g$
- 4 Rendement d'un code LDPC régulier :  $R \geq 1 - \frac{m}{n} = 1 - \frac{g}{r}$
- 5  $R_d = 1 - \frac{g}{r}$  est appelé **rendement de construction** d'un code LDPC

# Définition des codes LDPC

## Petit TD dans le cours...

Soit une matrice  $H$

$$H = \begin{pmatrix} 1 & 1 & 1 & 1 & 0 & 0 & 0 & 0 & 0 & 0 \\ 1 & 0 & 0 & 0 & 1 & 1 & 1 & 0 & 0 & 0 \\ 0 & 1 & 0 & 0 & 1 & 0 & 0 & 1 & 1 & 0 \\ 0 & 0 & 1 & 0 & 0 & 1 & 0 & 1 & 0 & 1 \\ 0 & 0 & 0 & 1 & 0 & 0 & 1 & 0 & 1 & 1 \end{pmatrix}$$

- 1 Donner la densité de  $H$
- 2  $H$  définit-elle un code LDPC régulier ?
- 3 Si oui, que valent  $g$  et  $r$  ?
- 4 Combien vaut le rendement de construction de ce code ?
- 5 Combien vaut le rendement de ce code ?

# Plan

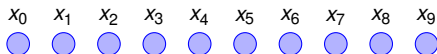
- 1 Introduction générale
- 2 Rappels sur de codage / définitions
- 3 Codes Linéaires (binaires) en blocs
- 4 LDPC**
  - ▷ Présentation générale
  - ▷ Définition
  - ▷ Graphe de Tanner associé à un code LDPC**
  - ▷ Décodage Somme-Produit
  - ▷ Étude des performances du décodage itératif



# Graphe de Tanner

Le **graphe de Tanner** est un **graphe bipartite** avec :

- 1  $n$  **nœuds de variables** représentant les variables  $v_j, j \in \{0, \dots, n-1\}$
- 2  $m$  **nœuds de parité**  $p_i, i \in \{0, \dots, m-1\}$
- 3 Une arrête est dessinée entre nœud de variable  $x_j$  et le nœud de parité  $c_i$  ssi  $h_{i,j} = 1$

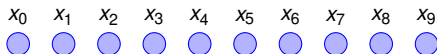


$$H = \begin{pmatrix} 1 & 1 & 1 & 1 & 0 & 0 & 0 & 0 & 0 & 0 \\ 1 & 0 & 0 & 0 & 1 & 1 & 1 & 0 & 0 & 0 \\ 0 & 1 & 0 & 0 & 1 & 0 & 0 & 1 & 1 & 0 \\ 0 & 0 & 1 & 0 & 0 & 1 & 0 & 1 & 0 & 1 \\ 0 & 0 & 0 & 1 & 0 & 0 & 1 & 0 & 1 & 1 \end{pmatrix}$$

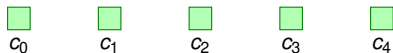
# Graphe de Tanner

Le **graphe de Tanner** est un **graphe bipartite** avec :

- 1  **$n$  nœuds de variables** représentant les variables  $v_j, j \in \{0, \dots, n-1\}$
- 2  **$m$  nœuds de parité**  $p_i, i \in \{0, \dots, m-1\}$
- 3 Une arrête est dessinée entre nœud de variable  $x_j$  et le nœud de parité  $c_i$  ssi  $h_{i,j} = 1$



$$H = \begin{pmatrix} 1 & 1 & 1 & 1 & 0 & 0 & 0 & 0 & 0 & 0 \\ 1 & 0 & 0 & 0 & 1 & 1 & 1 & 0 & 0 & 0 \\ 0 & 1 & 0 & 0 & 1 & 0 & 0 & 1 & 1 & 0 \\ 0 & 0 & 1 & 0 & 0 & 1 & 0 & 1 & 0 & 1 \\ 0 & 0 & 0 & 1 & 0 & 0 & 1 & 0 & 1 & 1 \end{pmatrix}$$

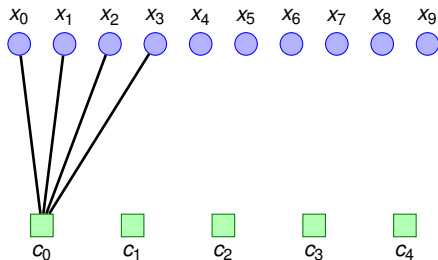


# Graphe de Tanner

Le **graphe de Tanner** est un **graphe bipartite** avec :

- 1  **$n$  nœuds de variables** représentant les variables  $v_j, j \in \{0, \dots, n-1\}$
- 2  **$m$  nœuds de parité**  $p_i, i \in \{0, \dots, m-1\}$
- 3 Une arrête est dessinée entre nœud de variable  $x_j$  et le nœud de parité  $c_i$  ssi  $h_{i,j} = 1$

$$H = \begin{pmatrix} 1 & 1 & 1 & 1 & 0 & 0 & 0 & 0 & 0 & 0 \\ 1 & 0 & 0 & 0 & 1 & 1 & 1 & 0 & 0 & 0 \\ 0 & 1 & 0 & 0 & 1 & 0 & 0 & 1 & 1 & 0 \\ 0 & 0 & 1 & 0 & 0 & 1 & 0 & 1 & 0 & 1 \\ 0 & 0 & 0 & 1 & 0 & 0 & 1 & 0 & 1 & 1 \end{pmatrix}$$

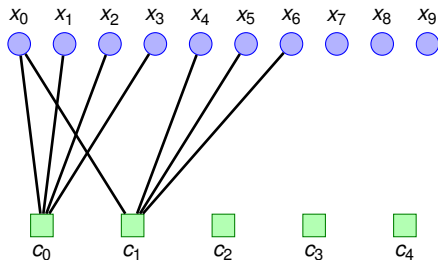


# Graphe de Tanner

Le **graphe de Tanner** est un **graphe bipartite** avec :

- 1  **$n$  nœuds de variables** représentant les variables  $v_j, j \in \{0, \dots, n-1\}$
- 2  **$m$  nœuds de parité**  $p_i, i \in \{0, \dots, m-1\}$
- 3 Une arrête est dessinée entre nœud de variable  $x_j$  et le nœud de parité  $c_i$  ssi  $h_{i,j} = 1$

$$H = \begin{pmatrix} 1 & 1 & 1 & 1 & 0 & 0 & 0 & 0 & 0 & 0 \\ 1 & 0 & 0 & 0 & 1 & 1 & 1 & 0 & 0 & 0 \\ 0 & 1 & 0 & 0 & 1 & 0 & 0 & 1 & 1 & 0 \\ 0 & 0 & 1 & 0 & 0 & 1 & 0 & 1 & 0 & 1 \\ 0 & 0 & 0 & 1 & 0 & 0 & 1 & 0 & 1 & 1 \end{pmatrix}$$

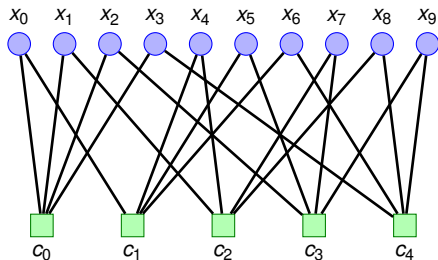


# Graphe de Tanner

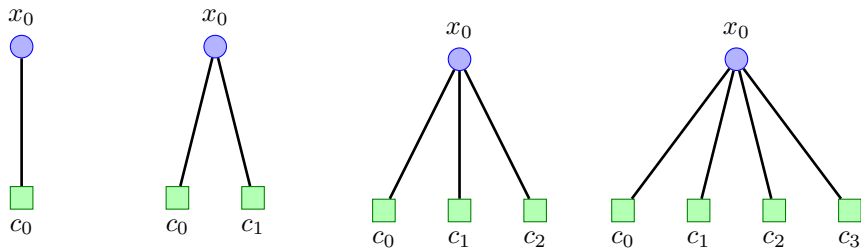
Le **graphe de Tanner** est un **graphe bipartite** avec :

- 1  $n$  **nœuds de variables** représentant les variables  $v_j, j \in \{0, \dots, n-1\}$
- 2  $m$  **nœuds de parité**  $p_i, i \in \{0, \dots, m-1\}$
- 3 Une arête est dessinée entre nœud de variable  $x_j$  et le nœud de parité  $c_i$  ssi  $h_{i,j} = 1$

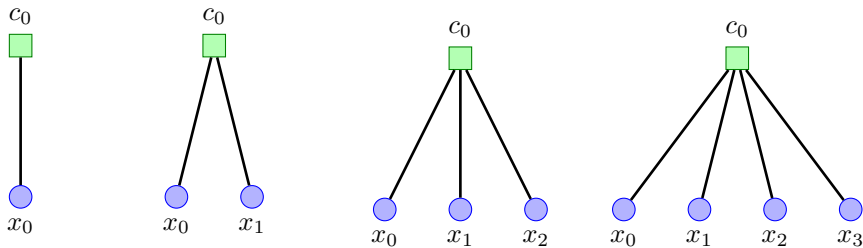
$$H = \begin{pmatrix} 1 & 1 & 1 & 1 & 0 & 0 & 0 & 0 & 0 & 0 \\ 1 & 0 & 0 & 0 & 1 & 1 & 1 & 0 & 0 & 0 \\ 0 & 1 & 0 & 0 & 1 & 0 & 0 & 1 & 1 & 0 \\ 0 & 0 & 1 & 0 & 0 & 1 & 0 & 1 & 0 & 1 \\ 0 & 0 & 0 & 1 & 0 & 0 & 1 & 0 & 1 & 1 \end{pmatrix}$$



# Degrés des nœuds de variable

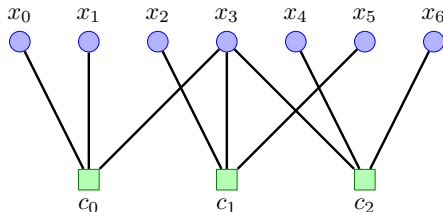


# Degrés des nœuds de parité



## Codes LDPC irréguliers

$$H = \begin{pmatrix} 1 & 1 & 0 & 1 & 0 & 0 & 0 \\ 0 & 0 & 1 & 1 & 0 & 1 & 0 \\ 0 & 0 & 0 & 1 & 1 & 0 & 1 \end{pmatrix}$$



Polynôme de distribution des degrés des nœuds de variables :  $\lambda(X) = \sum_{d=1}^{d_v} \lambda_d X^{d-1}$

Polynôme de distribution des degrés des nœuds de parités :  $\rho(X) = \sum_{d=1}^{d_c} \rho_d X^{d-1}$

Borne sur le rendement du code :  $R \geq 1 - \frac{\int_0^1 \rho(x) dx}{\int_0^1 \lambda(x) dx}$

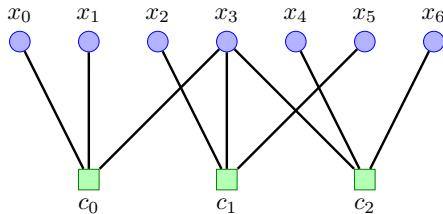


# Plan

- 1 Introduction générale
- 2 Rappels sur de codage / définitions
- 3 Codes Linéaires (binaires) en blocs
- 4 LDPC**
  - ▷ Présentation générale
  - ▷ Définition
  - ▷ Graphe de Tanner associé à un code LDPC
  - ▷ Décodage Somme-Produit**
  - ▷ Étude des performances du décodage itératif

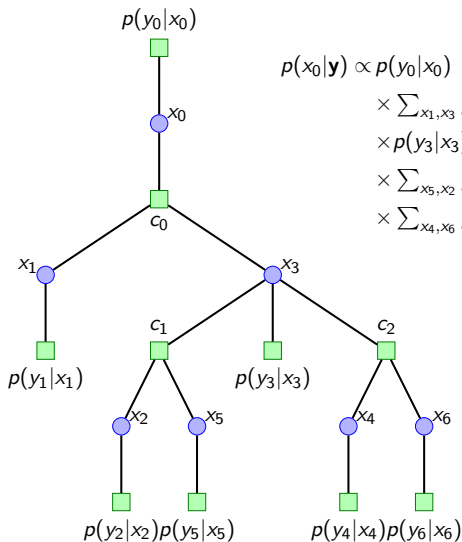
## Retour sur le décodage du MAP-bit

$$H = \begin{pmatrix} 1 & 1 & 0 & 1 & 0 & 0 & 0 \\ 0 & 0 & 1 & 1 & 0 & 1 & 0 \\ 0 & 0 & 0 & 1 & 1 & 0 & 1 \end{pmatrix}$$



$$\begin{aligned} p(x_0|\mathbf{y}) &\propto \sum_{\mathbf{x} \sim \mathbf{0}} \prod_{i=0}^6 p(y_i|x_i) \mathbb{1}(\mathbf{x}H^T = \mathbf{0}) \\ &= p(y_0|x_0) \sum_{x_1, x_3} p(y_1|x_1)p(y_3|x_3) \mathbb{1}(x_0 + x_1 + x_3 = 0) \\ &\quad \times \sum_{x_2, x_5} p(y_2|x_2)p(y_5|x_5) \mathbb{1}(x_2 + x_3 + x_5 = 0) \\ &\quad \times \sum_{x_4, x_6} p(y_4|x_4)p(y_6|x_6) \mathbb{1}(x_3 + x_4 + x_6 = 0) \end{aligned}$$

# Algorithme somme-produit



$$p(x_0|y) \propto p(y_0|x_0)$$

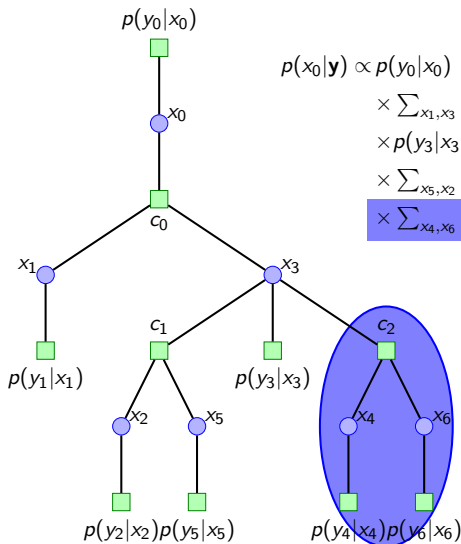
$$\times \sum_{x_1, x_3} p(y_1|x_1) \mathbb{1}(x_0 + x_1 + x_3 = 0)$$

$$\times p(y_3|x_3)$$

$$\times \sum_{x_5, x_2} p(y_2|x_2) p(y_5|x_5) \mathbb{1}(x_2 + x_3 + x_5 = 0)$$

$$\times \sum_{x_4, x_6} p(y_4|x_4) p(y_6|x_6) \mathbb{1}(x_3 + x_4 + x_6 = 0)$$

# Algorithme somme-produit



$$p(x_0|y) \propto p(y_0|x_0)$$

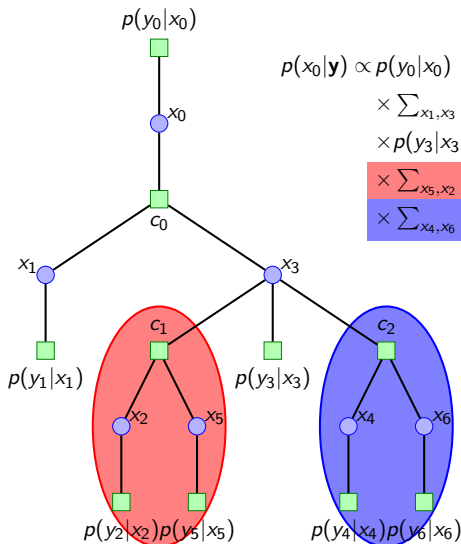
$$\times \sum_{x_1, x_3} p(y_1|x_1) \mathbb{1}(x_0 + x_1 + x_3 = 0)$$

$$\times p(y_3|x_3)$$

$$\times \sum_{x_5, x_2} p(y_2|x_2) p(y_5|x_5) \mathbb{1}(x_2 + x_3 + x_5 = 0)$$

$$\times \sum_{x_4, x_6} p(y_4|x_4) p(y_6|x_6) \mathbb{1}(x_3 + x_4 + x_6 = 0)$$

# Algorithme somme-produit



$$p(x_0|y) \propto p(y_0|x_0)$$

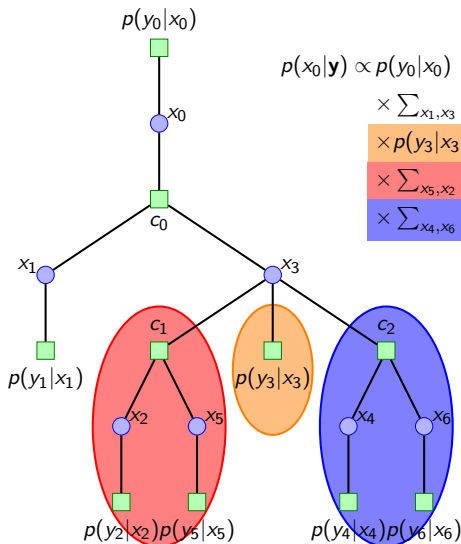
$$\times \sum_{x_1, x_3} p(y_1|x_1) \mathbb{1}(x_0 + x_1 + x_3 = 0)$$

$$\times p(y_3|x_3)$$

$$\times \sum_{x_5, x_2} p(y_2|x_2) p(y_5|x_5) \mathbb{1}(x_2 + x_3 + x_5 = 0)$$

$$\times \sum_{x_4, x_6} p(y_4|x_4) p(y_6|x_6) \mathbb{1}(x_3 + x_4 + x_6 = 0)$$

## Algorithme somme-produit



$$p(x_0|y) \propto p(y_0|x_0)$$

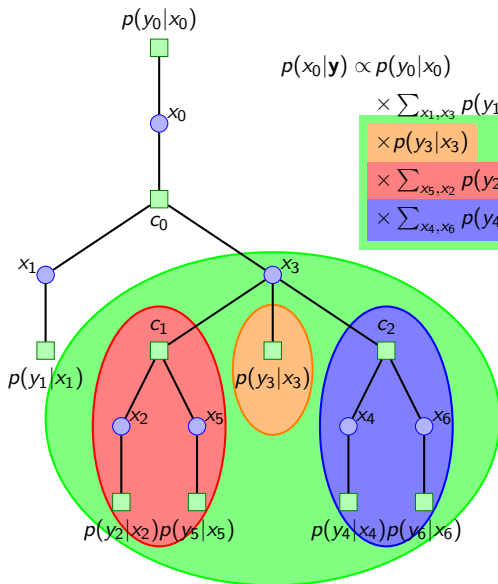
$$\times \sum_{x_1, x_3} p(y_1|x_1) \mathbb{1}(x_0 + x_1 + x_3 = 0)$$

$$\times p(y_3|x_3)$$

$$\times \sum_{x_5, x_2} p(y_2|x_2) p(y_5|x_5) \mathbb{1}(x_2 + x_3 + x_5 = 0)$$

$$\times \sum_{x_4, x_6} p(y_4|x_4) p(y_6|x_6) \mathbb{1}(x_3 + x_4 + x_6 = 0)$$

# Algorithme somme-produit



$$p(x_0|y) \propto p(y_0|x_0)$$

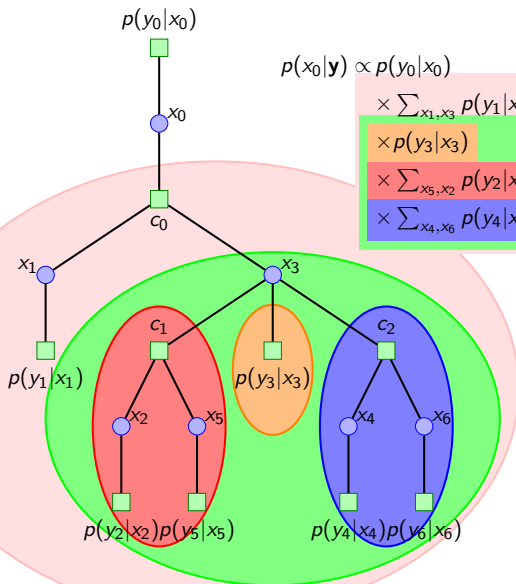
$$\times \sum_{x_1, x_3} p(y_1|x_1) \mathbb{1}(x_0 + x_1 + x_3 = 0)$$

$$\times p(y_3|x_3)$$

$$\times \sum_{x_5, x_2} p(y_2|x_2) p(y_5|x_5) \mathbb{1}(x_2 + x_3 + x_5 = 0)$$

$$\times \sum_{x_4, x_6} p(y_4|x_4) p(y_6|x_6) \mathbb{1}(x_3 + x_4 + x_6 = 0)$$

## Algorithme somme-produit



$$p(x_0|y) \propto p(y_0|x_0)$$

$$\times \sum_{x_1, x_3} p(y_1|x_1) \mathbb{1}(x_0 + x_1 + x_3 = 0)$$

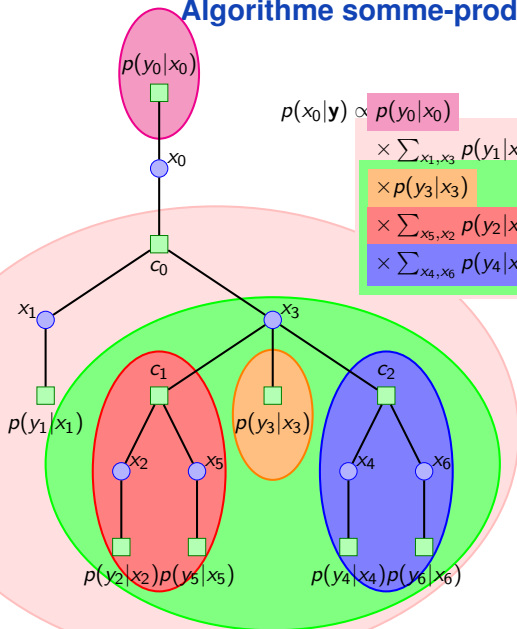
$$\times p(y_3|x_3)$$

$$\times \sum_{x_5, x_2} p(y_2|x_2) p(y_5|x_5) \mathbb{1}(x_2 + x_3 + x_5 = 0)$$

$$\times \sum_{x_4, x_6} p(y_4|x_4) p(y_6|x_6) \mathbb{1}(x_3 + x_4 + x_6 = 0)$$



## Algorithme somme-produit



$$p(x_0|y) \propto p(y_0|x_0)$$

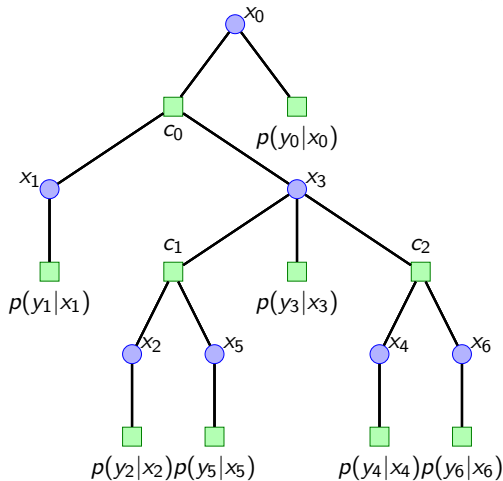
$$\times \sum_{x_1, x_3} p(y_1|x_1) \mathbb{1}(x_0 + x_1 + x_3 = 0)$$

$$\times p(y_3|x_3)$$

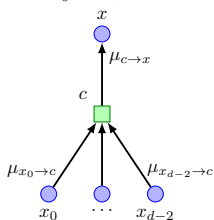
$$\times \sum_{x_5, x_2} p(y_2|x_2) p(y_5|x_5) \mathbb{1}(x_2 + x_3 + x_5 = 0)$$

$$\times \sum_{x_4, x_6} p(y_4|x_4) p(y_6|x_6) \mathbb{1}(x_3 + x_4 + x_6 = 0)$$

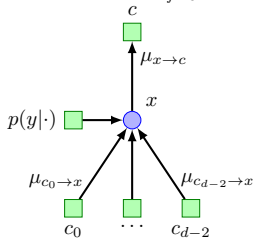
# Algorithme somme-produit



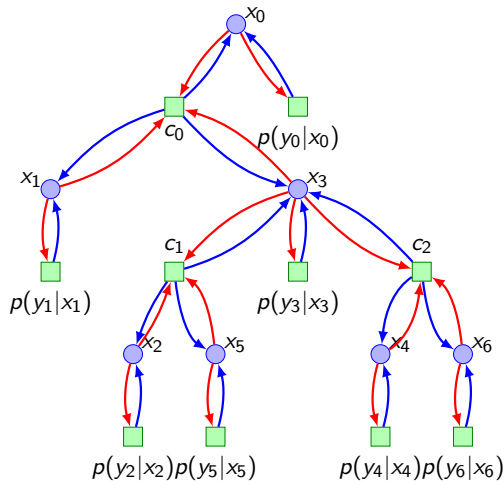
$$\mu_{c \rightarrow x}(x) = \sum_{\tilde{x}} \mathbb{1}(x + x_0 + \dots + x_{d-2} = 0) \times \prod_0^{d-2} \mu_{x_k \rightarrow c}(x_k)$$



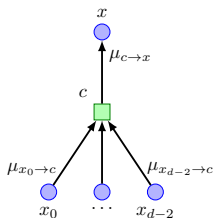
$$\mu_{x \rightarrow c}(x) = p(y|x) \prod_{f=0}^{d-2} \mu_{f \rightarrow x}(x)$$



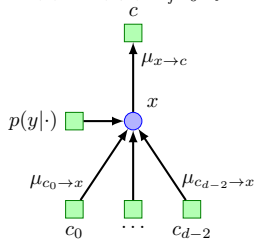
# Algorithme somme-produit



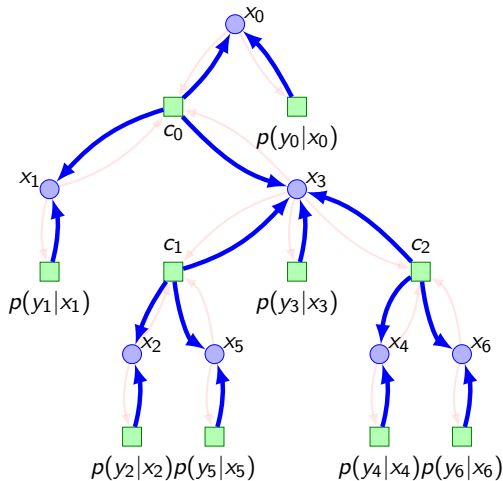
$$\mu_{c \rightarrow x}(x) = \sum_{\tilde{x}} \mathbb{1}(x + x_0 + \dots + x_{d-2} = 0) \times \prod_0^{d-2} \mu_{x_k \rightarrow c}(x_k)$$



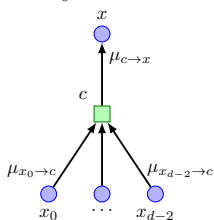
$$\mu_{x \rightarrow c}(x) = p(y|x) \prod_{f=0}^{d-2} \mu_{f \rightarrow x}(x)$$



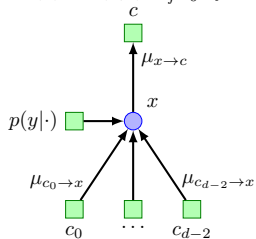
# Algorithme somme-produit



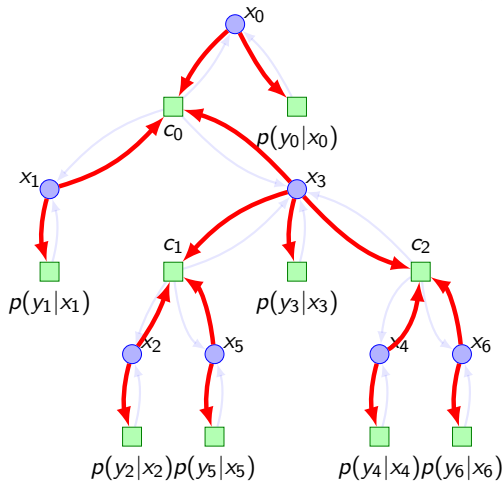
$$\mu_{c \rightarrow x}(x) = \sum_{\tilde{x}} \mathbb{1}(x + x_0 + \dots + x_{d-2} = 0) \times \prod_0^{d-2} \mu_{x_k \rightarrow c}(x_k)$$



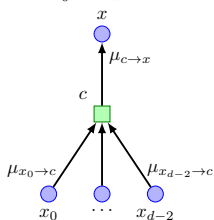
$$\mu_{x \rightarrow c}(x) = p(y|x) \prod_{f=0}^{d-2} \mu_{f \rightarrow x}(x)$$



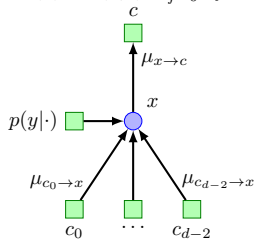
# Algorithme somme-produit



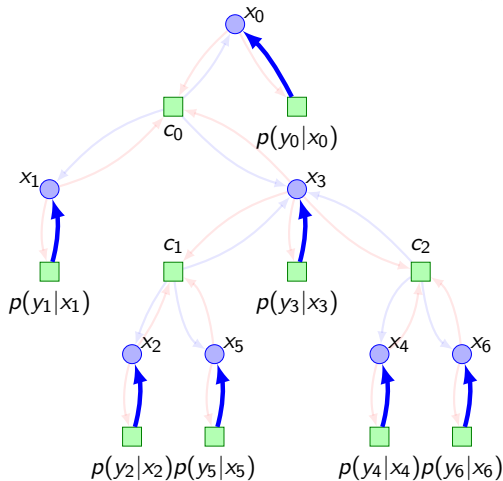
$$\mu_{c \rightarrow x}(x) = \sum_{\sim x} \mathbb{1}(x + x_0 + \dots + x_{d-2} = 0) \times \prod_0^{d-2} \mu_{x_k \rightarrow c}(x_k)$$



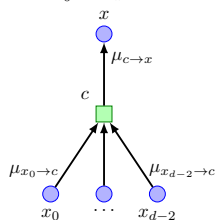
$$\mu_{x \rightarrow c}(x) = p(y|x) \prod_{f=0}^{d-2} \mu_{f \rightarrow x}(x)$$



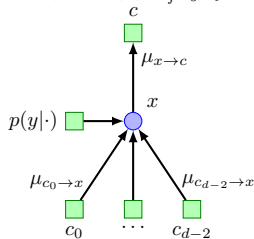
## Algorithme somme-produit



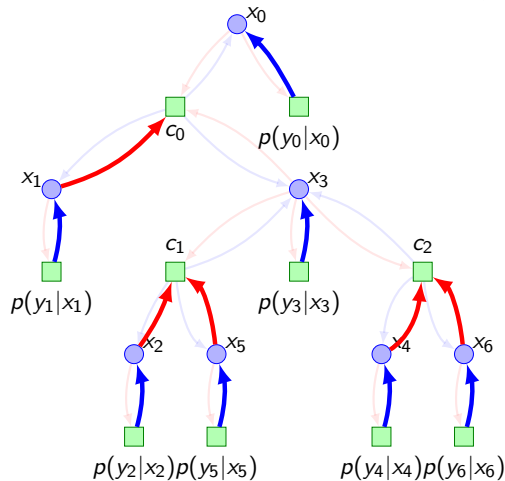
$$\mu_{c \rightarrow x}(x) = \sum_{\tilde{x}} \mathbb{1}(x + x_0 + \dots + x_{d-2} = 0) \times \prod_0^{d-2} \mu_{x_k \rightarrow c}(x_k)$$



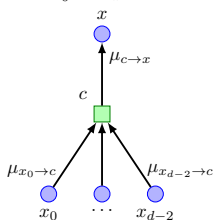
$$\mu_{x \rightarrow c}(x) = p(y|x) \prod_{f=0}^{d-2} \mu_{f \rightarrow x}(x)$$



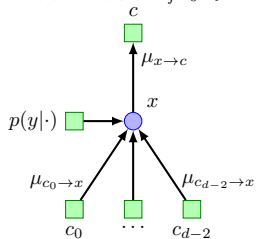
# Algorithme somme-produit



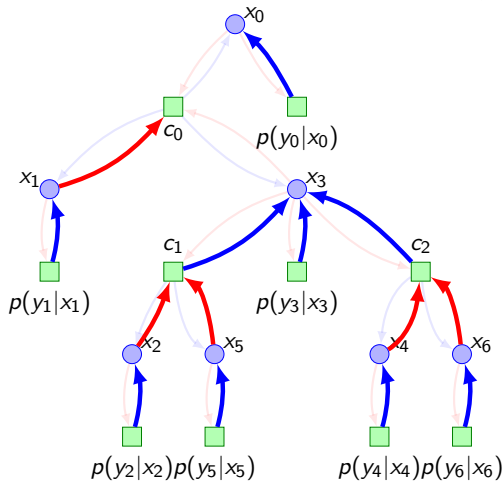
$$\mu_{c \rightarrow x}(x) = \sum_{\sim x} \mathbb{1}(x + x_0 + \dots + x_{d-2} = 0) \times \prod_0^{d-2} \mu_{x_k \rightarrow c}(x_k)$$



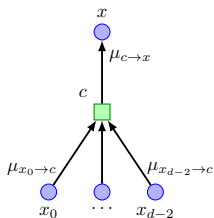
$$\mu_{x \rightarrow c}(x) = p(y|x) \prod_{f=0}^{d-2} \mu_{f \rightarrow x}(x)$$



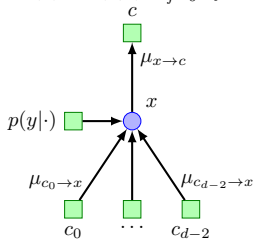
## Algorithme somme-produit



$$\mu_{c \rightarrow x}(x) = \sum_{\sim x} \mathbb{1}(x + x_0 + \dots + x_{d-2} = 0) \times \prod_0^{d-2} \mu_{x_k \rightarrow c}(x_k)$$

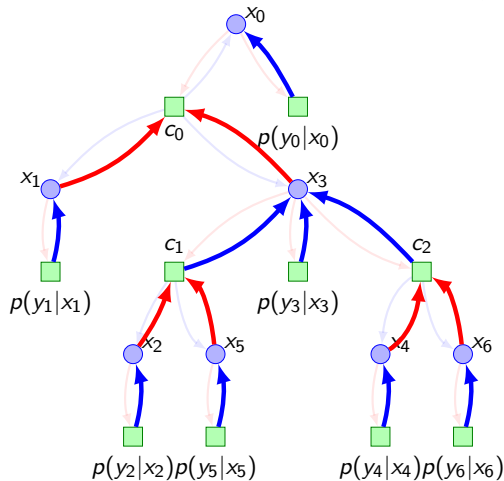


$$\mu_{x \rightarrow c}(x) = p(y|x) \prod_{f=0}^{d-2} \mu_{f \rightarrow x}(x)$$

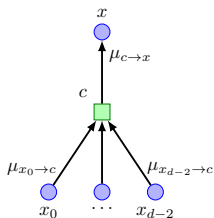




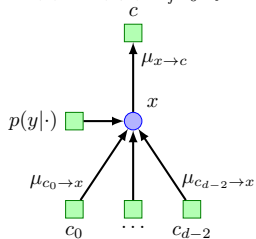
# Algorithme somme-produit



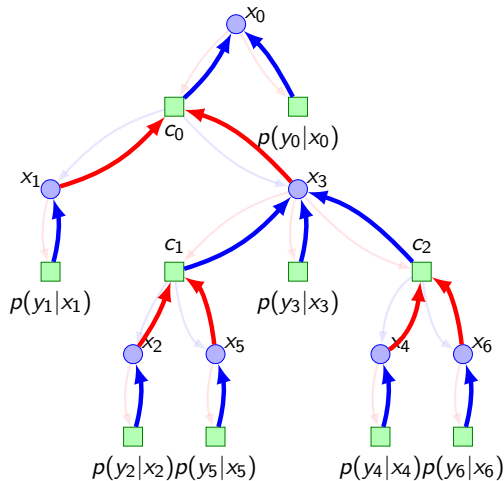
$$\mu_{c \rightarrow x}(x) = \sum_{\sim x} \mathbb{1}(x + x_0 + \dots + x_{d-2} = 0) \times \prod_0^{d-2} \mu_{x_k \rightarrow c}(x_k)$$



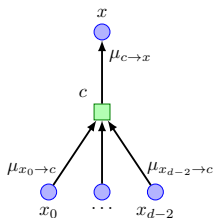
$$\mu_{x \rightarrow c}(x) = p(y|x) \prod_{f=0}^{d-2} \mu_{f \rightarrow x}(x)$$



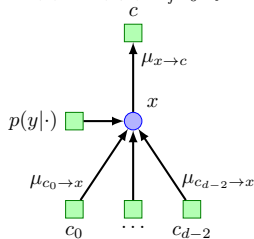
# Algorithme somme-produit



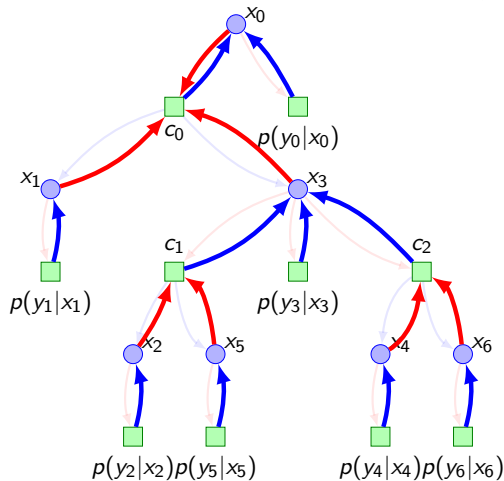
$$\mu_{c \rightarrow x}(x) = \sum_{\sim x} \mathbb{1}(x + x_0 + \dots + x_{d-2} = 0) \times \prod_0^{d-2} \mu_{x_k \rightarrow c}(x_k)$$



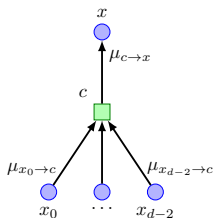
$$\mu_{x \rightarrow c}(x) = p(y|x) \prod_{f=0}^{d-2} \mu_{f \rightarrow x}(x)$$



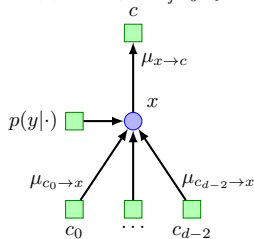
# Algorithme somme-produit



$$\mu_{c \rightarrow x}(x) = \sum_{\sim x} \mathbb{1}(x + x_0 + \dots + x_{d-2} = 0) \times \prod_0^{d-2} \mu_{x_k \rightarrow c}(x_k)$$

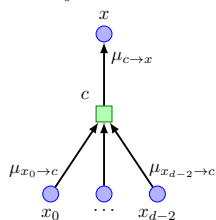
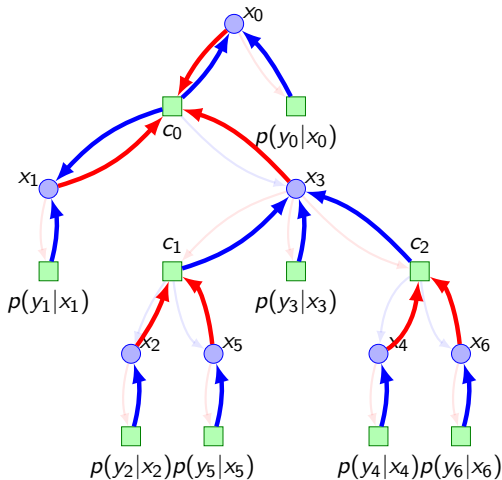


$$\mu_{x \rightarrow c}(x) = p(y|x) \prod_{f=0}^{d-2} \mu_{f \rightarrow x}(x)$$

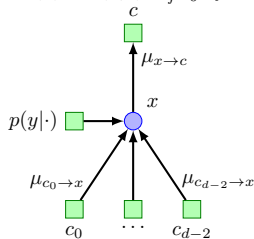


# Algorithme somme-produit

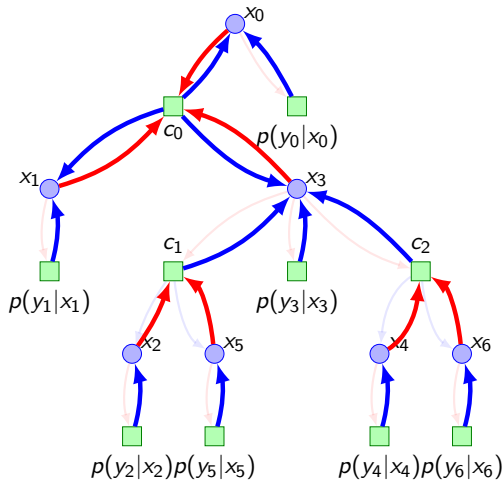
$$\mu_{c \rightarrow x}(x) = \sum_{\sim x} \mathbb{1}(x + x_0 + \dots + x_{d-2} = 0) \times \prod_{k=0}^{d-2} \mu_{x_k \rightarrow c}(x_k)$$



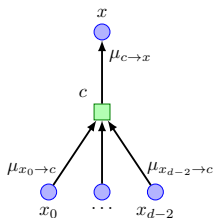
$$\mu_{x \rightarrow c}(x) = p(y|x) \prod_{f=0}^{d-2} \mu_{f \rightarrow x}(x)$$



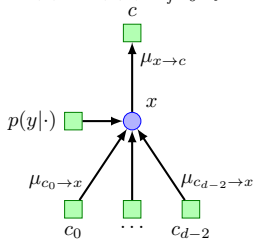
# Algorithme somme-produit



$$\mu_{c \rightarrow x}(x) = \sum_{\tilde{x}} \mathbb{1}(x + x_0 + \dots + x_{d-2} = 0) \times \prod_{k=0}^{d-2} \mu_{x_k \rightarrow c}(x_k)$$

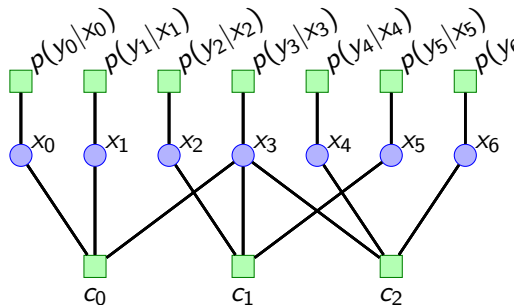


$$\mu_{x \rightarrow c}(x) = p(y|x) \prod_{f=0}^{d-2} \mu_{f \rightarrow x}(x)$$



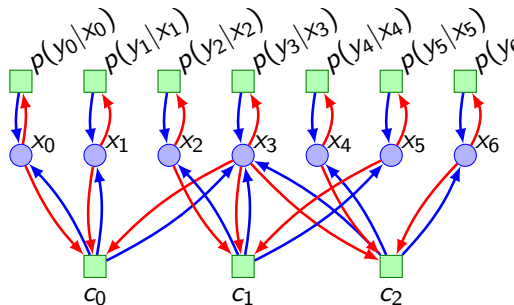
## Ordonnement : flooding

$$H = \begin{pmatrix} 1 & 1 & 0 & 1 & 0 & 0 & 0 \\ 0 & 0 & 1 & 1 & 0 & 1 & 0 \\ 0 & 0 & 0 & 1 & 1 & 0 & 1 \end{pmatrix}$$



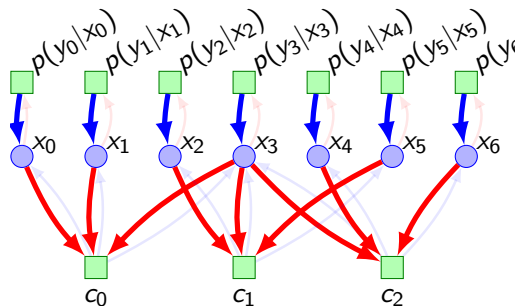
## Ordonnement : flooding

$$H = \begin{pmatrix} 1 & 1 & 0 & 1 & 0 & 0 & 0 \\ 0 & 0 & 1 & 1 & 0 & 1 & 0 \\ 0 & 0 & 0 & 1 & 1 & 0 & 1 \end{pmatrix}$$



## Ordonnancement : flooding

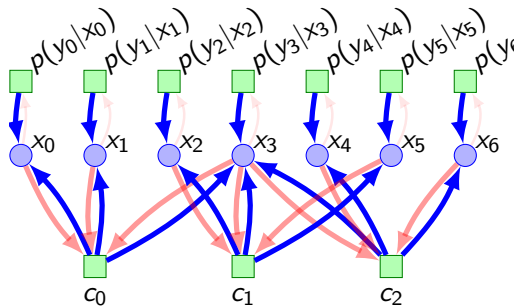
$$H = \begin{pmatrix} 1 & 1 & 0 & 1 & 0 & 0 & 0 \\ 0 & 0 & 1 & 1 & 0 & 1 & 0 \\ 0 & 0 & 0 & 1 & 1 & 0 & 1 \end{pmatrix}$$





## Ordonnement : flooding

$$H = \begin{pmatrix} 1 & 1 & 0 & 1 & 0 & 0 & 0 \\ 0 & 0 & 1 & 1 & 0 & 1 & 0 \\ 0 & 0 & 0 & 1 & 1 & 0 & 1 \end{pmatrix}$$



## Conclusion sur l'algorithme somme-produit

L'algorithme SP :

- utilise des calcul locaux  $\Rightarrow$  réduit complexité

## Conclusion sur l'algorithme somme-produit

L'algorithme SP :

- utilise des calcul locaux  $\Rightarrow$  réduit complexité
- permet d'approximer les probabilités a posteriori  $p(x_i|\mathbf{y})$

## Conclusion sur l'algorithme somme-produit

L'algorithme SP :

- utilise des calcul locaux  $\Rightarrow$  réduit complexité
- permet d'approximer les probabilités a posteriori  $p(x_i|\mathbf{y})$
- ce calcul est **exact** si le **graphe de Tanner est un arbre**

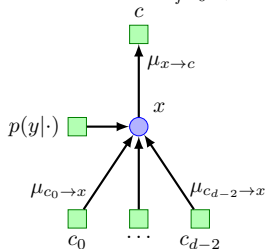
## Conclusion sur l'algorithme somme-produit

L'algorithme SP :

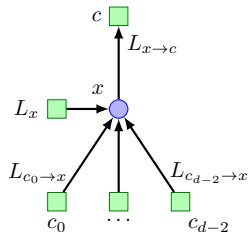
- utilise des calcul locaux  $\Rightarrow$  réduit complexité
- permet d'approximer les probabilités a posteriori  $p(x_i|\mathbf{y})$
- ce calcul est **exact** si le **graphe de Tanner est un arbre**
- si le graphe possède des cycles  $\Rightarrow$  itérer

## Calculer avec des LLR - Nœuds de variables

$$\mu_{x \rightarrow c}(x) = p(y|x) \prod_{f=0}^{d-2} \mu_{f \rightarrow x}(x)$$

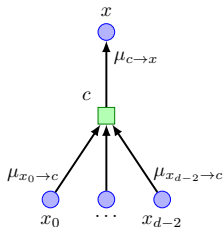


$$L_{x \rightarrow c} = L_x + \sum_{k=0}^{d-2} L_{c_k \rightarrow x}$$

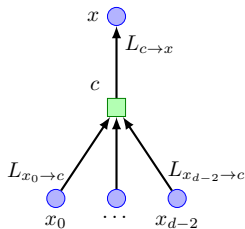

 $\Rightarrow$

## Calculer avec des LLR - Nœuds de variables

$$\mu_{c \rightarrow x}(x) = \sum_{\sim x} \mathbb{1}(x + x_0 + \dots + x_{d-2} = 0) \times \prod_0^{d-2} \mu_{x_k \rightarrow c}(x_k)$$



$$L_{c \rightarrow x} = 2 \operatorname{atanh} \left( \prod_{k=0}^{d-2} \tanh \frac{L_{x_k \rightarrow c}}{2} \right)$$



⇒

# Plan

- 1 Introduction générale
- 2 Rappels sur de codage / définitions
- 3 Codes Linéaires (binaires) en blocs
- 4 **LDPC**
  - ▷ Présentation générale
  - ▷ Définition
  - ▷ Graphe de Tanner associé à un code LDPC
  - ▷ Décodage Somme-Produit
  - ▷ Étude des performances du décodage itératif

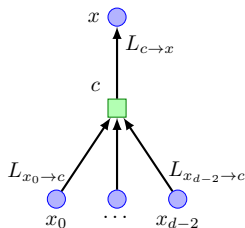


## Propriétés

- **Théorème de concentration** : Les performances des codes longs d'un même ensemble (avec les mêmes  $\lambda(X)$  et  $\rho(X)$ ) se comportent globalement de la même manière  $\Rightarrow$  on peut réaliser une étude en moyenne.
- **Pour des codes longs**, étude moyenne  $\Leftrightarrow$  étude des codes acycliques ayant les mêmes  $\lambda(X)$  et  $\rho(X)$
- **Pour des codes longs**, effet de seuil sur le **paramètre du canal** (probabilité d'erreur, probabilité d'effacement ou SNR)

# Évolution de densité - Nœuds de parités

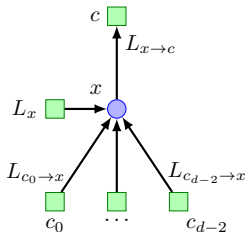
$$L_{c \rightarrow x} = 2 \operatorname{atanh} \left( \prod_{k=0}^{d-2} \tanh \frac{L_{x_k \rightarrow c}}{2} \right)$$



- Canal BEC avec probabilité d'effacement  $p : \mathbb{P}(y_i = \epsilon | x_i) = p$ .
- **Remarque** Sur canal BEC les messages sont dans l'ensemble  $\{\pm\infty, 0\}$ .
- On note  $\bar{p}_{x \rightarrow c}$  la probabilité d'effacement moyenne sur les messages allant des nœuds de variables aux nœuds de parités
- On suppose que  $\mathbb{P}(L_{x_i \rightarrow c_j} = 0) = \bar{p}_{x \rightarrow c}, \forall i$  et  $j$  dans  $\{0, n-1\}$  et  $\{0, m-1\}$
- Que vaut  $\bar{p}_{c \rightarrow x}$  ?

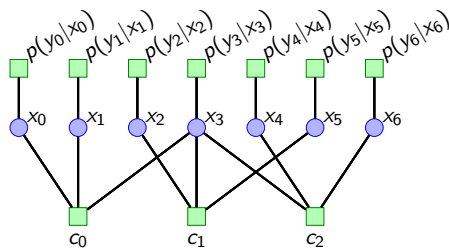
# Évolution de densité - Nœuds de variables

$$L_{x \rightarrow c} = L_x + \sum_{k=0}^{d-2} L_{c_k \rightarrow x}$$



- Canal BEC avec probabilité d'effacement  $p : \mathbb{P}(y_i = \epsilon | x_i) = p$ .
- **Remarque** Sur canal BEC les messages sont dans l'ensemble  $\{\pm\infty, 0\}$ .
- On note  $\bar{p}_{c \rightarrow x}$  la probabilité d'effacement moyenne sur les messages allant des nœuds de parités aux nœuds de variables
- On suppose que  $\mathbb{P}(L_{c_j \rightarrow x_i} = 0) = \bar{p}_{c \rightarrow x}, \forall i$  et  $j$  dans  $\{0, n-1\}$  et  $\{0, m-1\}$
- Que vaut  $\bar{p}_{x \rightarrow c}$  ?

# Évolution de densité - Points fixes



- Canal BEC avec probabilité d'effacement  $p : \mathbb{P}(y_i = \epsilon | x_i) = p$ .
- La probabilité d'effacement après décodage pour  $\ell \rightarrow \infty$  dépend des points fixes de

$$\bar{p}_{x \rightarrow c}^{(\ell)} = p\lambda \left( 1 - \rho \left( 1 - \bar{p}_{x \rightarrow c}^{(\ell-1)} \right) \right)$$